

### III-4 粒状体の応力～ひずみ曲線元のスペクトル解析について

福岡大学 正員 吉田信夫

#### 1. まえがき

セン断にともなう生じるダイレイタンシー現象については、これまで多くの人々によりその究明がころみられてきているが、実験材料の試料の粒子の表面のあらさ、粒子形状、粒子配合、間げき、応力状態などの要因が関係し、これらの影響の割合を論じることはむずかしい。

既報<sup>1)</sup>ではセン断試験の試料にガラスビーズをもつて、粒子形状、粒子のあらさを統一し、変数として粒径、間げき比、応力の大きさをかえて基礎的実験をおこなった。この時、応力～ひずみ曲線で粒子のセン断変位にともなうセン断応力の不規則な変化がみとめられ、垂直応力とセン断変位/粒径との間に直線関係がみとめられることをみいだしている。

本文では、このセン断変位にともなう不規則なセン断応力の変動についてスペクトル解析<sup>2)</sup>の適用をこころみ、適用に際しての数値処理上の問題点とその結果について報告するものである。

#### 2. 試料と試験機

実験に用いた試料は東芝製の研磨用ガラスビーズ、G B でこれは土質工学会のセン断せん試験の時にもらはれたものと同系統のものである。

ガラスビーズの比重は2.52で、土粒子の比重よりもややかる。写真-1に示した顕微鏡写真は粒径2.0% のもので倍率20倍のものである。

セン断時の応力は0.5 kg/cm<sup>2</sup>～2.0 kg/cm<sup>2</sup>の4段階にかえ間げき比は0.61～0.70の相対密度0, 50, 100% でおこなった。(2.0% の場合)。

セン断試験機は三笠式セン断試験機をもつて、セン断応力、セン断変位はX-Y記録計でとり体積膨脹は1/1000 mm<sup>3</sup>のダイヤルゲージで測定した。

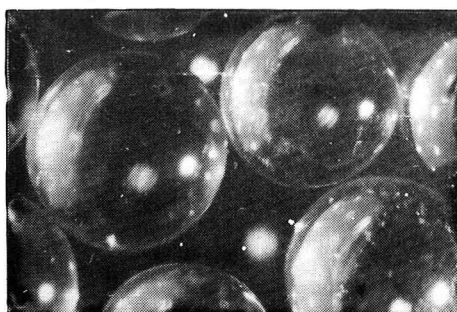


写真-1 直径2.0% 倍率20倍

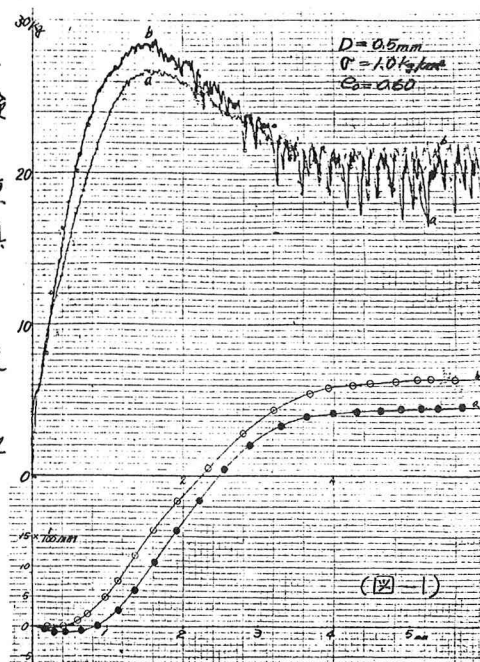


図-1 応力～ひずみ曲線  
セン断試験速度は0.25mm/min である。

図-1に直径0.5mm、垂直応力1.0 kg/cm<sup>2</sup> 初期間げき比0.6のセン断応力～セン断ひずみ曲線をしめす。

またガラスビーズはそれぞれの試験終了後に

清淨な水で洗淨し低温で乾燥してもらいた。

### 3 解析法

セン断応力  $\sigma(\varepsilon)$  は任意のセン断ひずみ  $\varepsilon_1, \varepsilon_2, \dots, \varepsilon_N$  について  $\sigma(\varepsilon_1), \sigma(\varepsilon_2), \dots, \sigma(\varepsilon_N)$  はエルゴート性を満足するものとする。このセン断ひずみについてするセン断応力  $\sigma(\varepsilon_i)$  の系列平均値、系列分散、系列相關係数は (1) 式でもとまる。

$$\left. \begin{aligned} \text{系列平均値 } \bar{\sigma} &= \frac{1}{N} \sum_{i=1}^N \sigma_i & \text{系列分散 } S^2 &= \frac{1}{N} \sum_{i=1}^N (\sigma_i - \bar{\sigma})^2 = \frac{1}{N} \sum_{i=1}^N \sigma_i^2 - \bar{\sigma}^2 \\ \text{系列相關係数 } R_k &= \frac{1}{S_1 S_2} \frac{1}{(N-k)} \sum_{i=1}^{N-k} (\sigma_i - \bar{\sigma}_1)(\sigma_{i+k} - \bar{\sigma}_2) & & \\ \sigma_1 &= \frac{1}{N-k} \sum_{i=1}^{N-k} \sigma_i^2, \quad \bar{\sigma}_1 = \frac{1}{N-k} \sum_{i=k+1}^N \sigma_i & S_1^2 &= \frac{1}{N-k} \sum_{i=1}^{N-k} (\sigma_i - \bar{\sigma}_1)^2, \quad S_2^2 = \frac{1}{N-k} \sum_{i=k+1}^N (\sigma_i - \bar{\sigma}_2)^2 \end{aligned} \right\} \quad (1)$$

この自己相關係数を元にいてプロットしたコレログラムの型から、セン断応力のセン断ひずみについてする不規則変動のなかに存在する周期性の検出の有無を判定できる。すなわち正規化した係数が +1.0 から -1.0 を周期的にとれば周期性があり、その周期のおおきさも検討できる。一方、この係数の減少が急激である一関数であれば周期性ではなく、つぎに述べるスペクトル密度も白色雑音的性質をもつことになる。

つぎに、セン断ひずみ  $\varepsilon_i$  をパラメータとするセン断応力  $\sigma(\varepsilon_i)$  の系を

$$\{\sigma(\varepsilon); \varepsilon = -\infty, \dots, 0, 1, \dots, +\infty\}$$

とかんがえ、この自己相關関数がラグ  $\tau$  だけに依存する関数であるときにはこれを  $B(\tau)$  であらわすと  $\sigma(\varepsilon_i)$  のスペクトル密度関数  $f(w)$  は  $F(w) = \int_0^\infty f(w) dw$  から  $B(\tau)$  との関係は (2) 式

$$B(\tau) = \int_0^{1/2} (\cos 2\pi w \tau) 2f(w) dw \quad (2)$$

となり、したがって  $f(w)$  は

$$f(w) = B(0) + 2 \sum_{\tau=1}^{\infty} B(\tau) \cos 2\pi w \tau \quad (3)$$

でもとまる。

ところで、実際に (3) 式でスペクトル密度関数をもとめるには 図-1 の応力へひずみ曲線のように、一種の傾向変動のまわりに不規則変動をしているので、この傾向変動を除去する必要がある。このために  $\sigma(\varepsilon_i)$  のデータ数値をつぎの (4) 式の構造式をもつような  $m$  次の直交多項式  $X(\varepsilon)$  で変換する

$$X(\varepsilon) = \alpha_0 + \alpha_1 \phi_1(\varepsilon) + \alpha_2 \phi_2(\varepsilon) + \dots + \alpha_m \phi_m(\varepsilon) + U \quad (4)$$

(4) 式における残差  $U$  が自己相關係数、スペクトル密度の入力値とすればよい。

計算結果の詳細については紙面の都合で当日のべるが、この解析法の導入により、粒状体のセン断破壊のマクロ的すべり現象の解明の手法となるものとかんがえる。

### 参考文献

- 1) 著田若岡井上、ダイレイタシ-効果の補正法の比較と若干の考察について 土木学会西部技術研究会 第25年度
- 2) 破部 相関関数およびスペクトル 東京大学出版会 p.26